Publication 905 de la CEI
(Première édition - 1987)

Guide de charge pour transformateurs de puissance de type sec

IEC Publication 905
(First edition - 1987)

Loading guide for dry-type power transformers

CORRIGENDUM

Correction du texte anglais seulement:

Page 15

Subclause 4.2.7, in A and B, instead of:
= range ...
read:
= amplitude ...

Page 16

Page 17

Remplacer la figure 1 par une nouvelle figure 1 ci-jointe.

Replace figure 1 by the new figure 1 attached.

Page 18

Page 19

Paragraphe 4.4, sixième alinéa, deuxième ligne, remplacer «L_R» par «L'_R»

Subclause 4.4, sixth paragraph, second line, replace "L_R" by "L'_R"

Page 20

Page 21

Paragraphe 4.5.1, deuxième alinéa, au lieu de:
La consommation de vie $L'_1 + L'_2$ ...
lire:
La consommation de vie $L_1 + L'_2$ ...

Subclause 4.5.1, second paragraph, instead of:
The resulting consumption $L'_1 + L'_2$ ...
read:
The resulting consumption $L_1 + L'_2$ ...

Puis, troisième alinéa, au lieu de:
... et on calcule L_1 et L'_2, ...
lire:
... et on calcule L'_1 et L'_2, ...

Then, third paragraph, instead of:
... and L_1 and L'_2 are calculated, ...
read:
... and L'_1 and L'_2 are calculated, ...

Et au dernier alinéa, au lieu de:
La valeur de t ...
lire:
La valeur de t_2 ...

And in last paragraph, instead of:
The value of t ...
read:
The value of t_2 ...

(Voir au verso)

(See overleaf)

Page 25

Remplacer la formule:

$$L = L + \int_0^{tn} e^{\frac{\ln 2}{\theta_d}(\Delta\theta^t_{wh} - \theta_c)} \, dt$$

par la formule suivante:

$$L = L + \int_0^{tn} e^{\frac{\ln 2}{\theta_d}(\Delta\theta^t_{wh} + \theta_{ad} - \theta_c)} \, dt$$

Pages 32 à 43

Remplacer les courbes existantes par les nouvelles courbes ci-jointes.

Page 27

Replace the formula:

$$L = L + \int_0^{tn} e^{\frac{\ln 2}{\theta_d}(\Delta\theta^t_{wh} - \theta_c)} \, dt$$

by the following formula:

$$L = L + \int_0^{tn} e^{\frac{\ln 2}{\theta_d}(\Delta\theta^t_{wh} + \theta_{ad} - \theta_c)} \, dt$$

Pages 32 to 43

Replace the existing figures by the new figures enclosed.

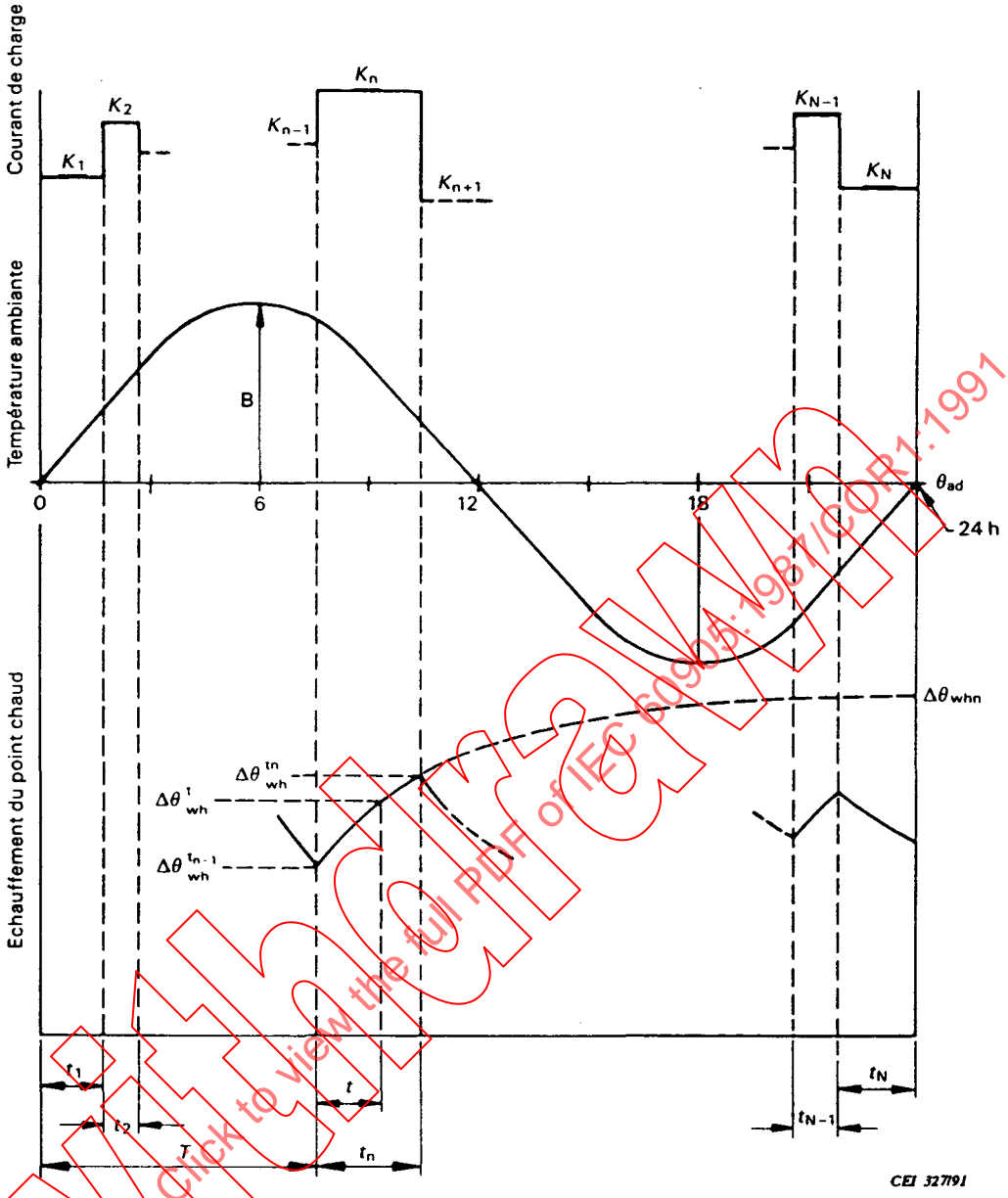

NOTE – Température du point chaud de l'enroulement à tout instant = $\Delta\theta^{t}_{wh} + \theta_{ad}$.

Fig. 1. – Diagramme de charge à utiliser pour la préparation de programmes informatiques.

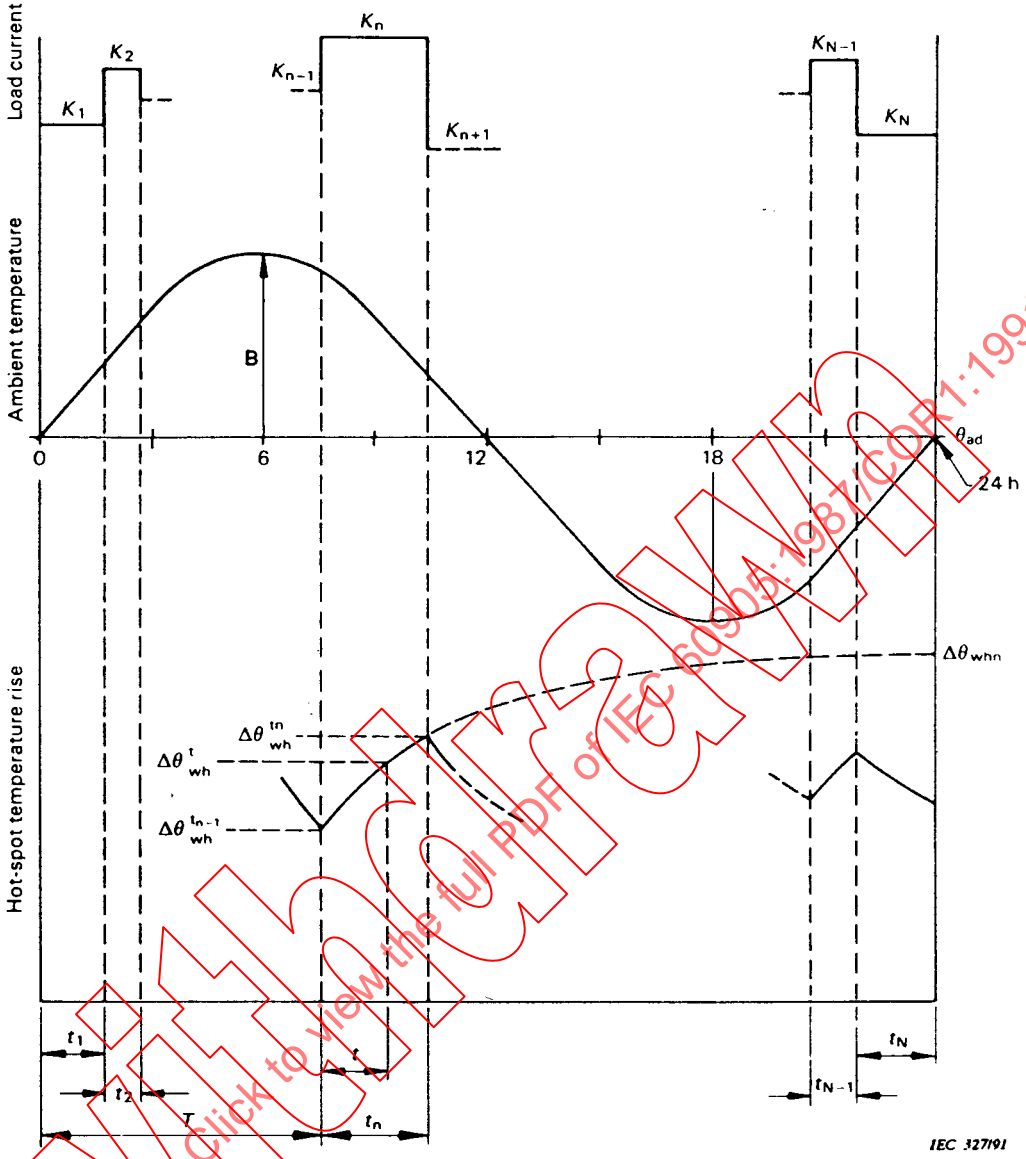

NOTE – Hot-spot winding temperature at any instant = $\Delta\theta^{t}_{wh} + \theta_{ad}$.

Fig. 1. – Load diagram for use in the preparation of computer programs.

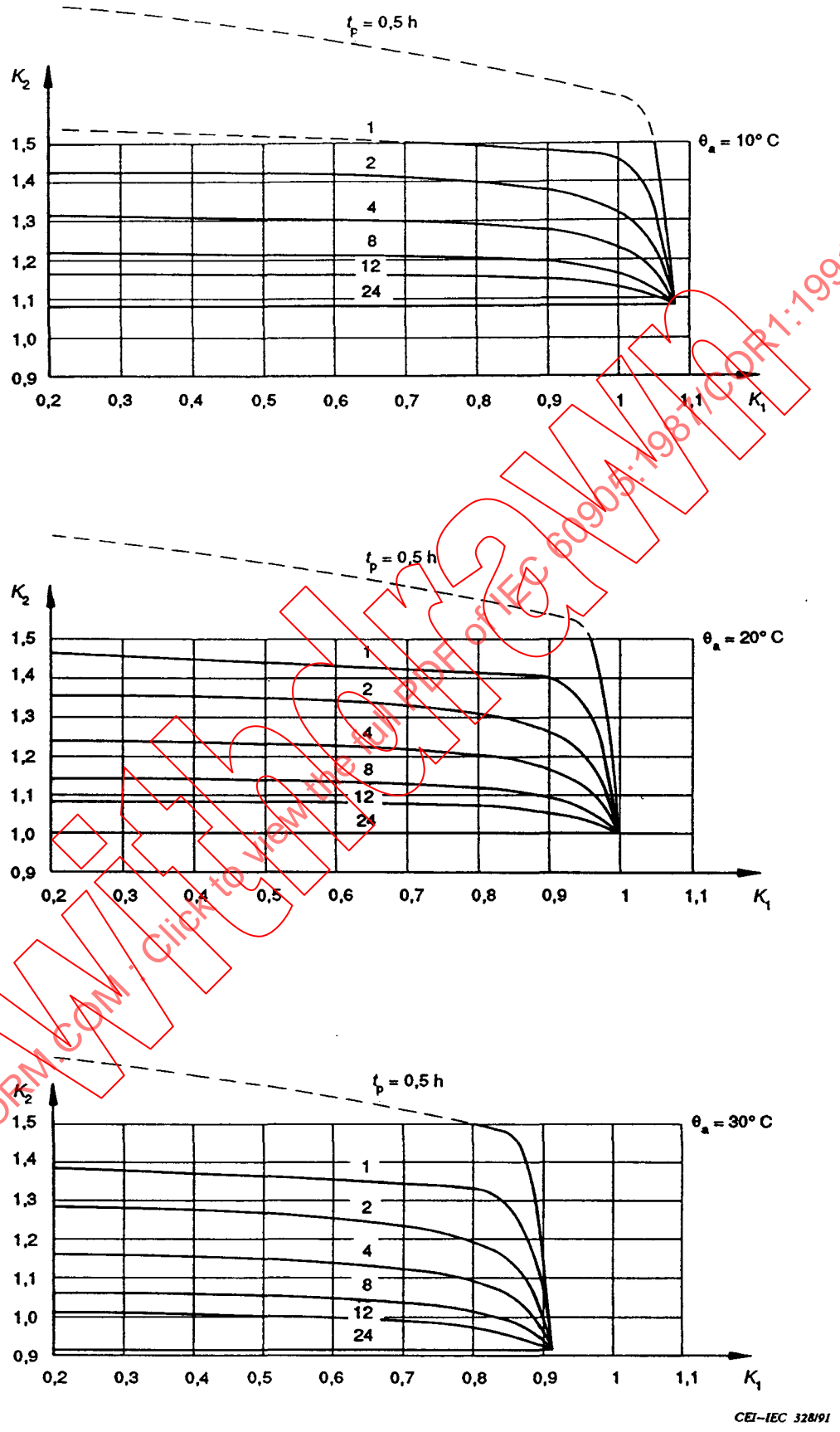

Fig. 5(1) – Courbes des charges pour une température de système d'isolation de 105 °C, τ = 0,5 h, θ_a = 10, 20 et 30 °C.

Load curves for insulation system temperature 105 °C, τ = 0,5 h, θ_a = 10, 20 and 30 °C.

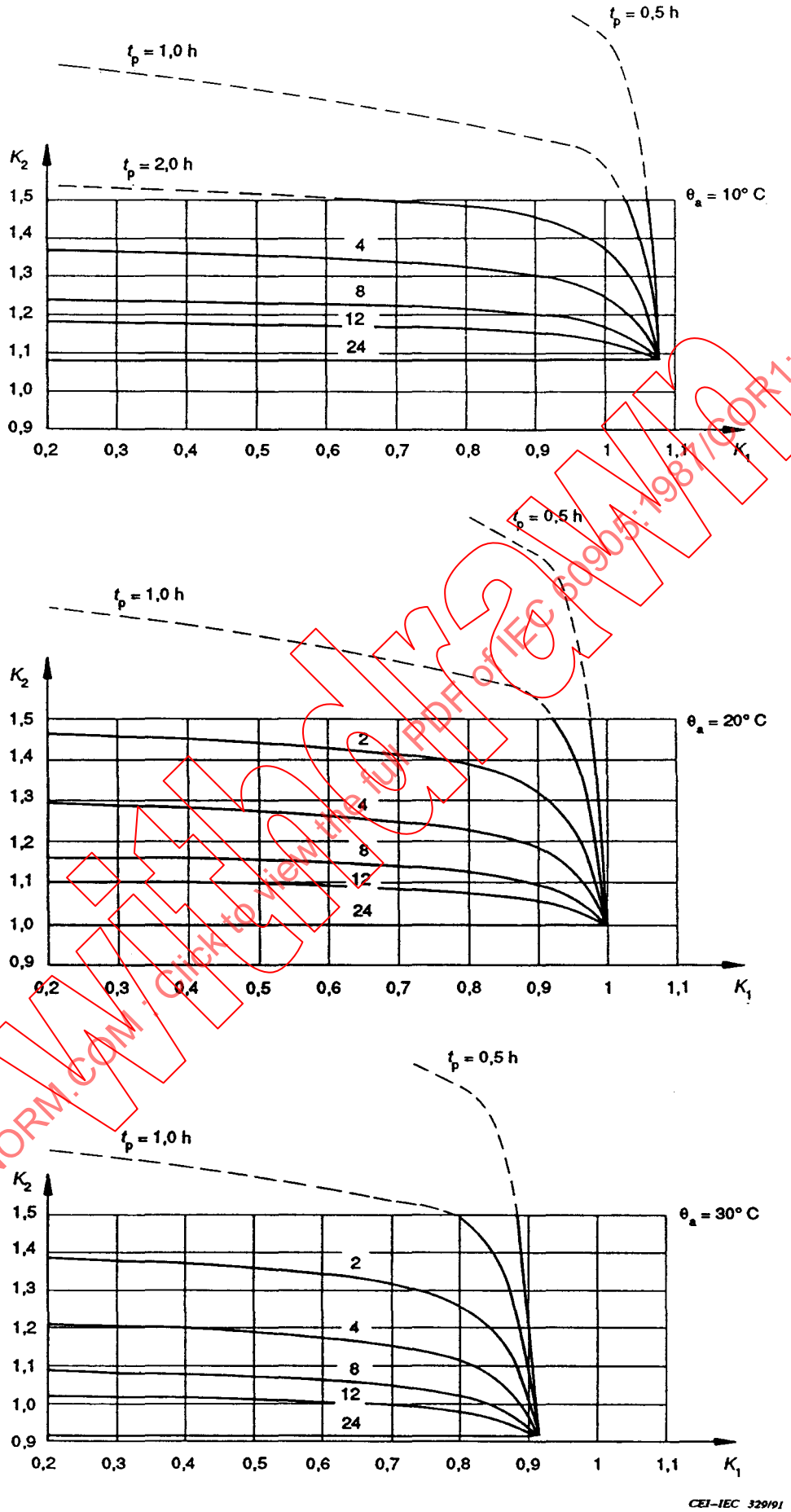

Fig. 5(2) – Courbes des charges pour une température de système d'isolation de 105 °C, τ = 1,0 h, θ_a = 10, 20 et 30 °C.

Load curves for insulation system temperature 105 °C, τ = 1,0 h, θ_a = 10, 20 and 30 °C.

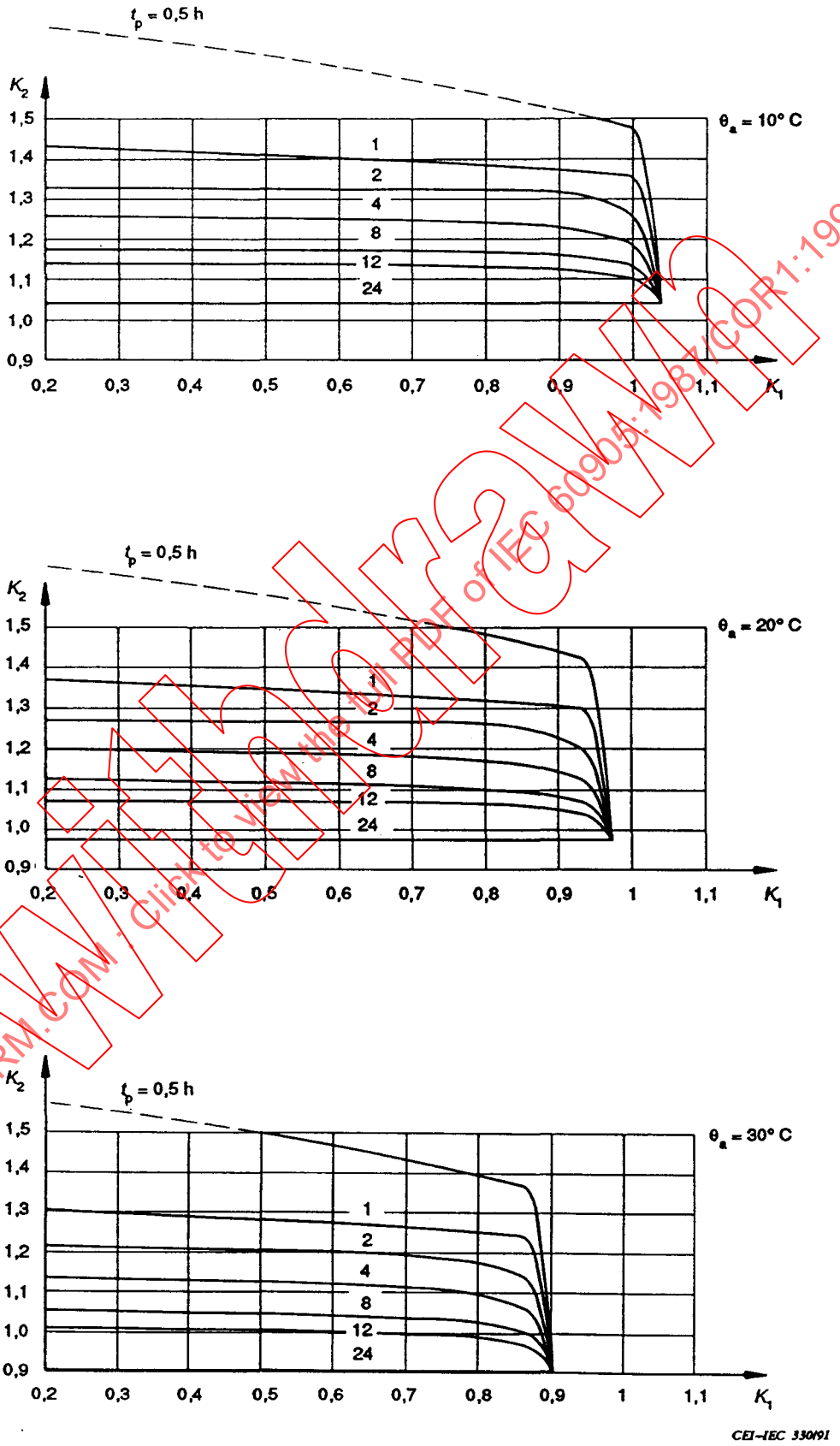

Fig. 5(3) – Courbes des charges pour une température de système d'isolation de 120 °C, τ = 0,5 h, θ_a = 10, 20 et 30 °C.

Load curves for insulation system temperature 120 °C, τ = 0,5 h, θ_a = 10, 20 and 30 °C.

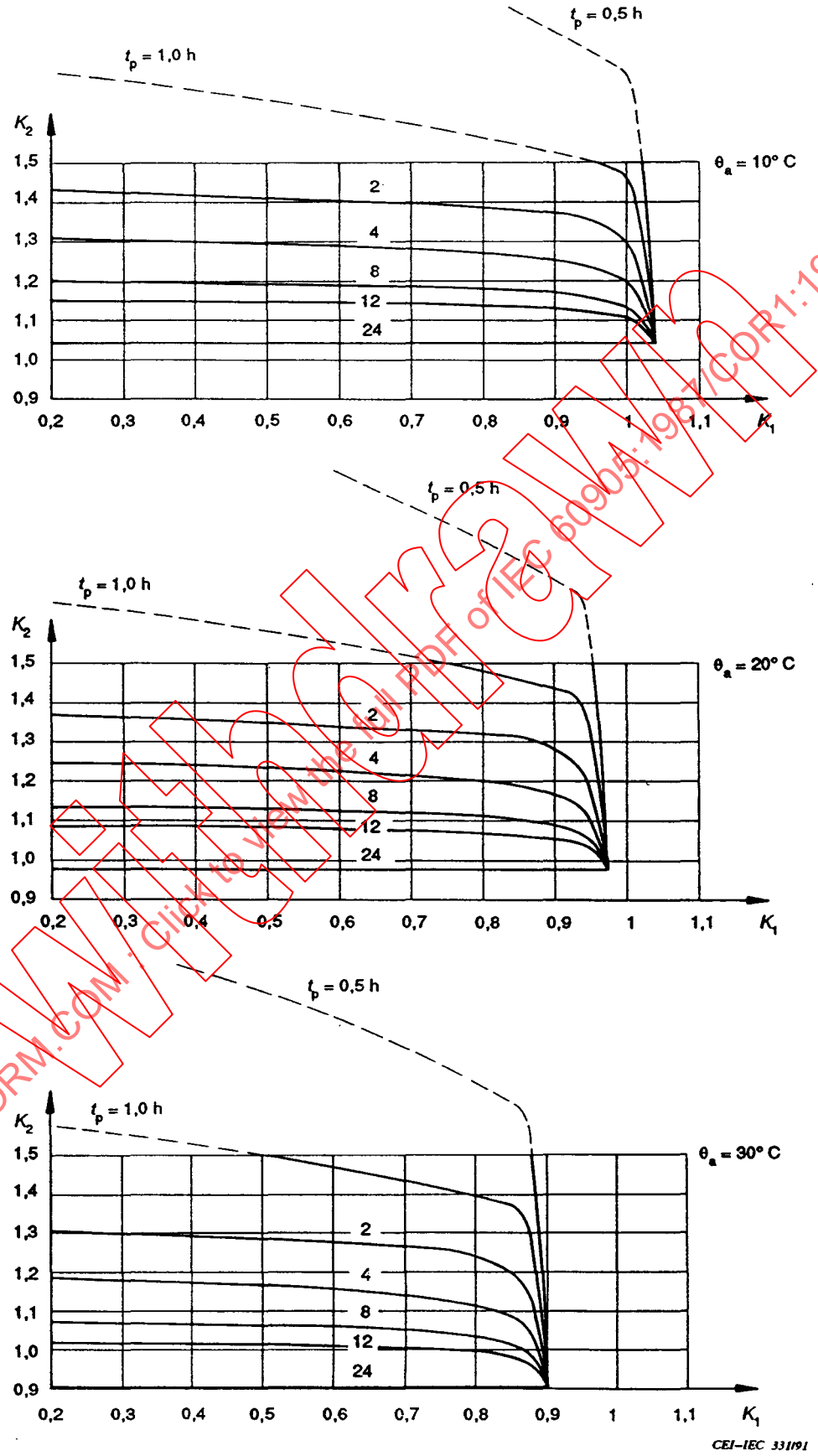

Fig. 5(4) – Courbes des charges pour une température de système d'isolation de 120 °C, τ = 1,0 h, θ_a = 10, 20 et 30 °C.

Load curves for insulation system temperature 120 °C, τ = 1,0 h, θ_a = 10, 20 and 30 °C.

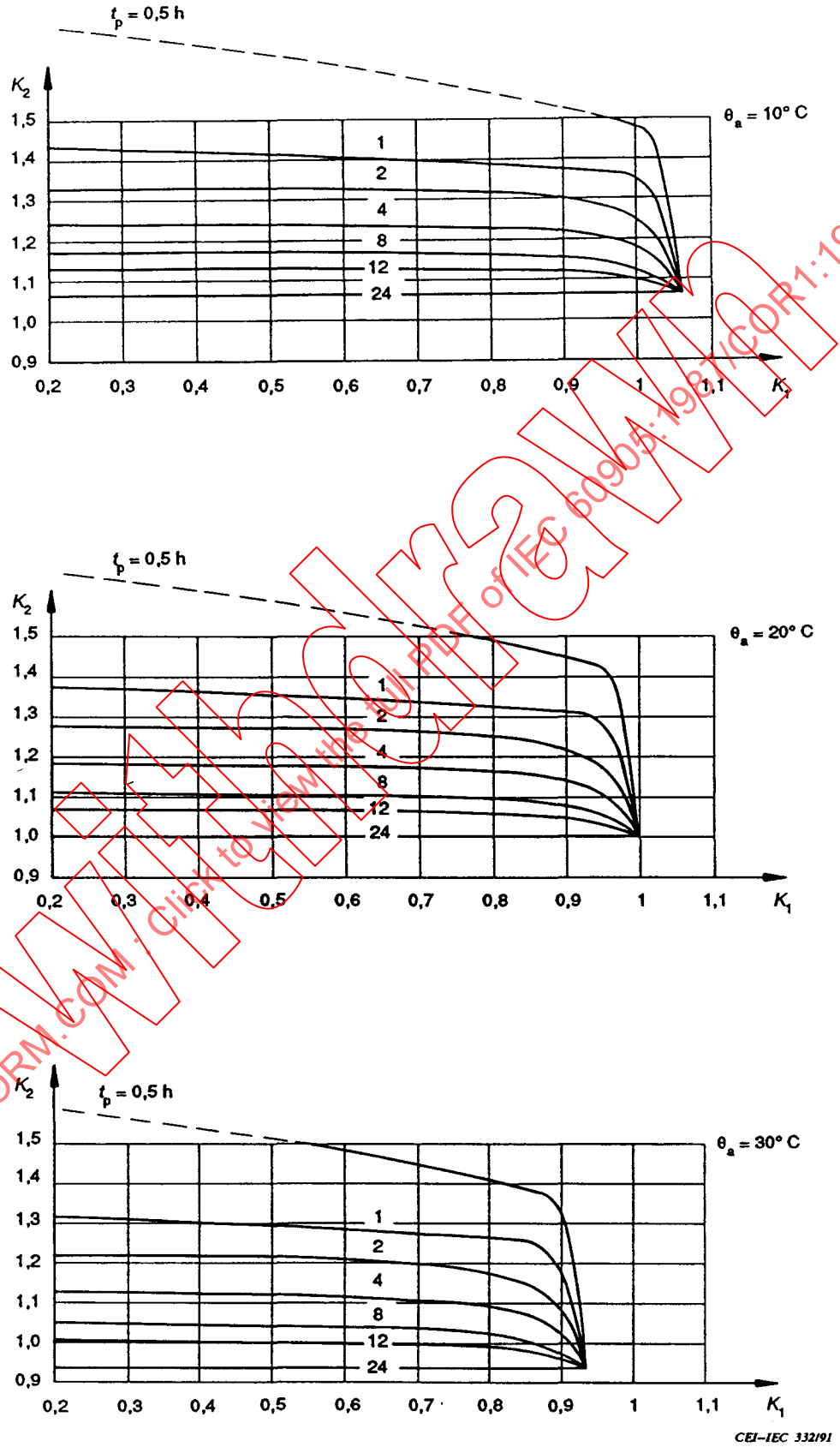

Fig. 5(5) – Courbes des charges pour une température de système d'isolation de 130 °C, τ = 0,5 h, θ_a = 10, 20 et 30 °C.

Load curves for insulation system temperature 130 °C, τ = 0,5 h, θ_a = 10, 20 and 30 °C.

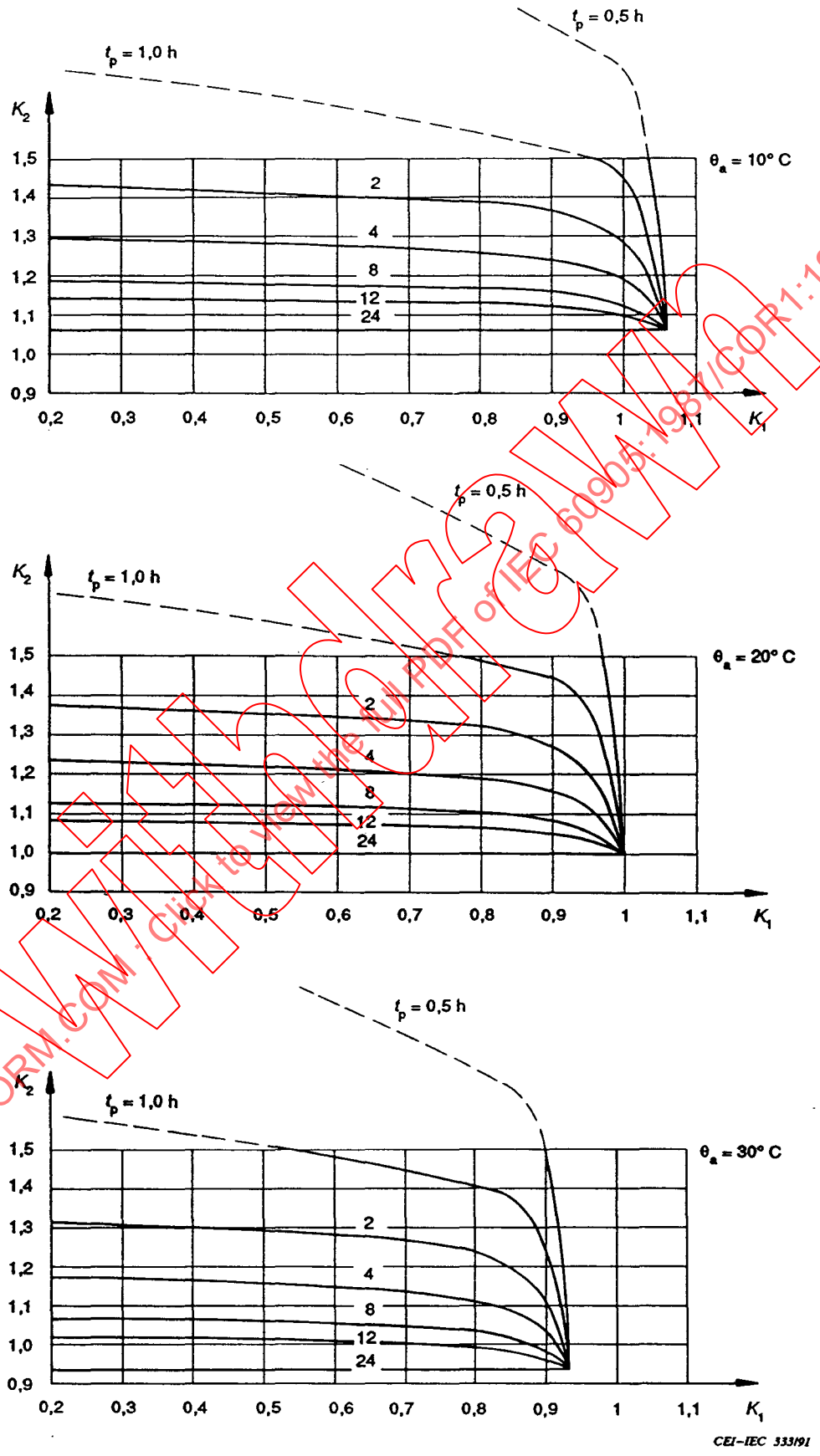

Fig. 5(6) – Courbes des charges pour une température de système d'isolation de 130 °C, τ = 1,0 h, θ_a = 10, 20 et 30 °C.

Load curves for insulation system temperature 130 °C, τ = 1,0 h, θ_a = 10, 20 and 30 °C.

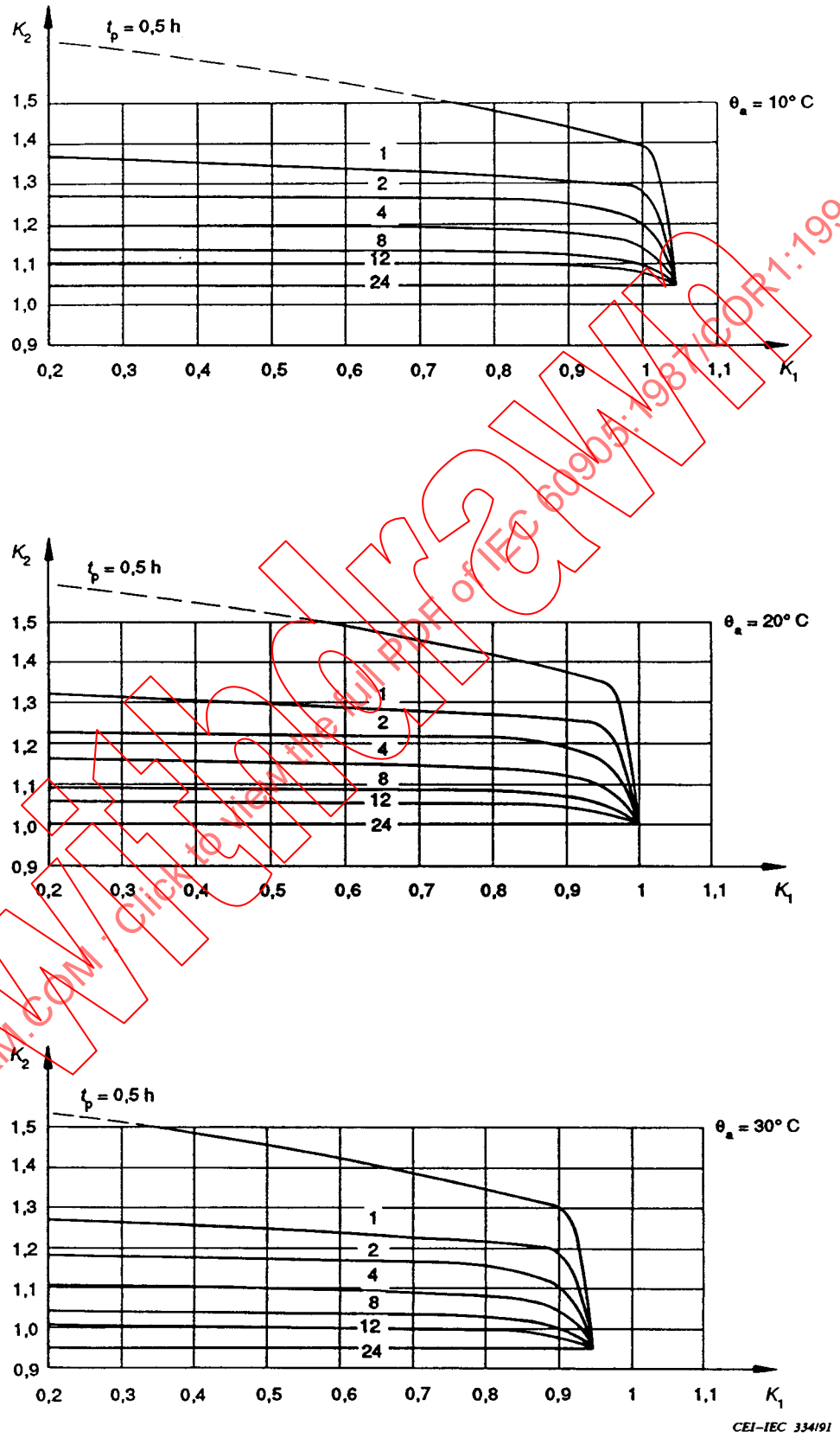

Fig. 5(7) – Courbes des charges pour une température de système d'isolation de 155 °C, τ = 0,5 h, θ_a = 10, 20 et 30 °C.

Load curves for insulation system temperature 155 °C, τ = 0,5 h, θ_a = 10, 20 and 30 °C.

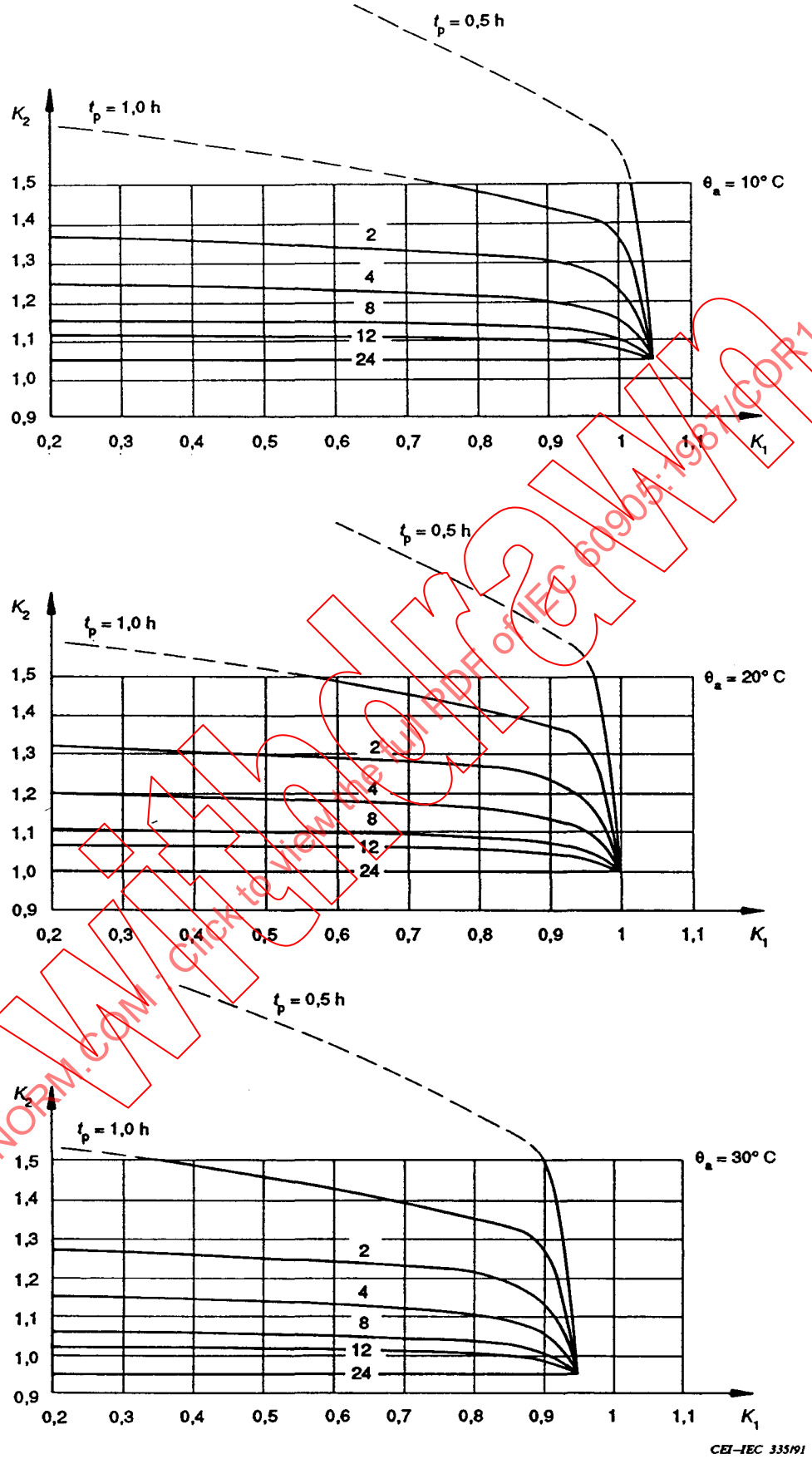

Fig. 5(8) – Courbes des charges pour une température de système d'isolation de 155 °C, τ = 1,0 h, θ_a = 10, 20 et 30 °C.

Load curves for insulation system temperature 155 °C, τ = 1,0 h, θ_a = 10, 20 and 30 °C.